



UNIVERSITAT POLITÈCNICA DE CATALUNYA
ESCOLA TÈCNICA SUPERIOR D'ENGINYERS
DE CAMINS, CANALS I PORTS DE BARCELONA



ESTUDIO EXPERIMENTAL
DEL COMPORTAMIENTO DEL HORMIGÓN
CONFINADO SOMETIDO A COMPRESIÓN

Tesis Doctoral de:
Carlos Aire Untiveros

Dirigida por:
Ravindra Gettu
Joan Ramon Casas Rius

Barcelona, Septiembre 2002

Figura B.1 Modos de rotura del hormigón H30 bajo diferentes presiones de confinamiento


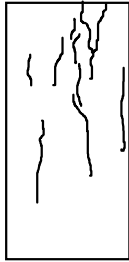

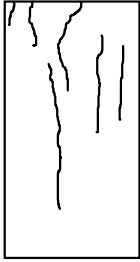

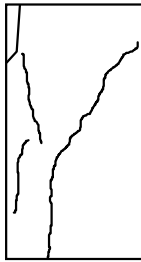




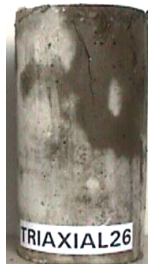
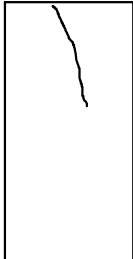







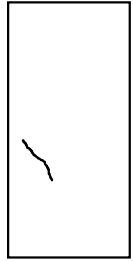
Confinamiento	Probeta 1		Probeta 2	
0 MPa				
7 MPa				
17 MPa				
28 MPa				
35 MPa				

Figura B.2 Modos de rotura del hormigón H70 bajo diferentes presiones de confinamiento


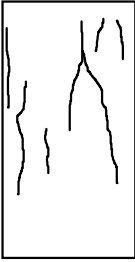

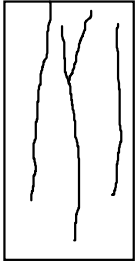

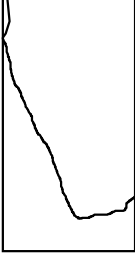

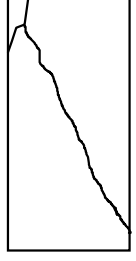





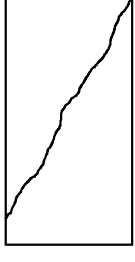
Confinamiento	Probeta 1		Probeta 2	
0 MPa				
7 MPa				
10 MPa				
14 MPa				
28 MPa				

Figura B.2 Modos de rotura del hormigón H70 bajo diferentes presiones de confinamiento (continuación)


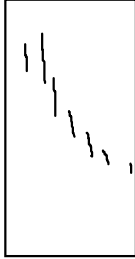

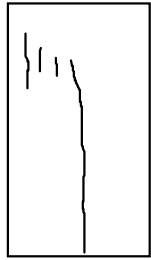

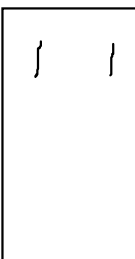




Confinamiento	Probeta 1		Probeta 2	
35 MPa				
40 MPa				
45 MPa				
50 MPa				

Figura B.3 Modos de rotura del hormigón HE70 bajo diferentes presiones de confinamiento


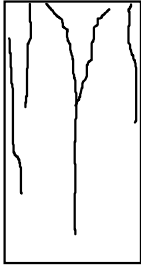

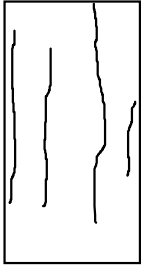

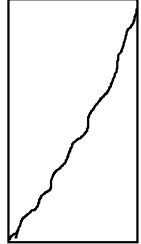

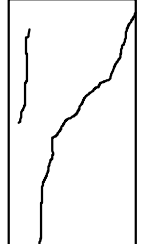

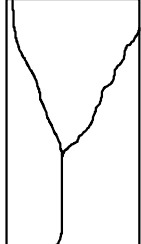

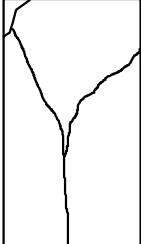

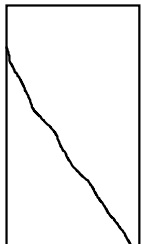




Confinamiento	Probeta 1		Probeta 2	
0 MPa				
7 MPa				
14 MPa				
35 MPa				
40 MPa				

Figura B.3 Modos de rotura del hormigón HE70 bajo diferentes presiones de confinamiento (continuación)




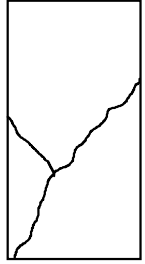
Confinamiento	Probeta 1		Probeta 2	
50 MPa				

Figura B.4 Esquemas de rotura de los hormigones bajo diferentes presiones de confinamiento

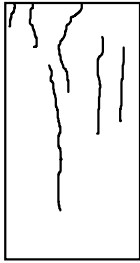
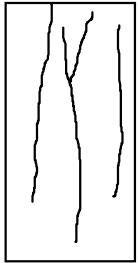
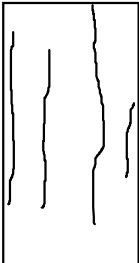
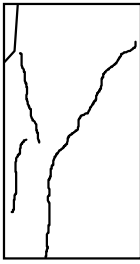
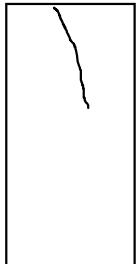
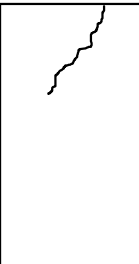
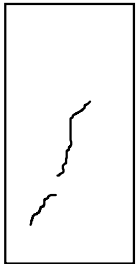
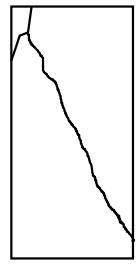
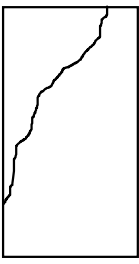
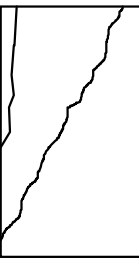
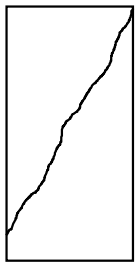
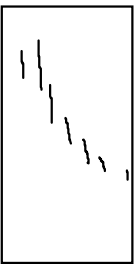
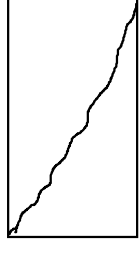
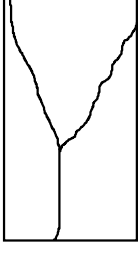
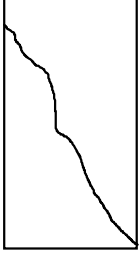

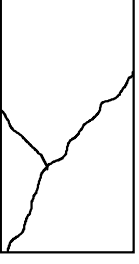
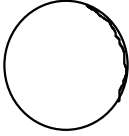
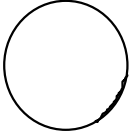
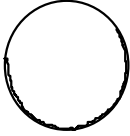

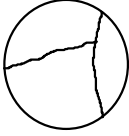
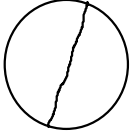
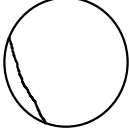
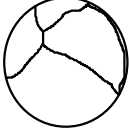
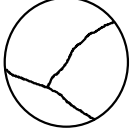
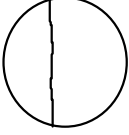

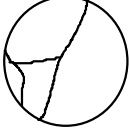
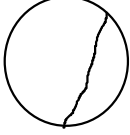
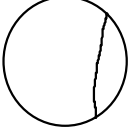
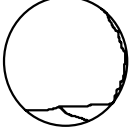
Hormigón sin confinar				
H30	H70	HE70		
				
H30-2	H70-2	HE70-2		
Hormigón confinado-H30				
7 MPa	17 MPa	28 MPa	35 MPa	
				
Triaxial2-1	Triaxial2-6	Triaxial2-3	Triaxial2-4	
Hormigón confinado-H70				
7 MPa	10 MPa	14 MPa	28 MPa	35 MPa
				
Triaxial1-9	Triaxial1-1	Triaxial1-7	Triaxial1-8	Triaxial1-3
Hormigón confinado-HE70				
7 MPa	14 MPa	35 MPa	40 MPa	50 MPa
				
Triaxial3-2	Triaxial3-1	Triaxial3-4	Triaxial3-3	Triaxial3-9

Figura B.5 Esquemas de rotura de los hormigones bajo diferentes presiones de confinamiento

Hormigón sin confinar				
H30	H70	HE70		
				
H30-1 (sup)	H70-2 (sup)	HE70-1 (sup)		
Hormigón confinado-H30				
7 MPa	7 MPa	7 MPa		
				
Triaxial 2-1	Triaxial2-5	Triaxial2-5 (sup)		
Hormigón confinado-H70				
7 MPa	14 MPa	40 MPa	50 MPa	
				
Triaxial1-9 (sup)	Triaxial1-7	Triaxial1-4	Triaxial1-10	
Hormigón confinado-HE70				
7 MPa	14 MPa	35 MPa	50 MPa	50 MPa
				
Triaxial3-5	Triaxial3-1	Triaxial3-7	Triaxial3-8	Triaxial3-9